

# Controladores Fuzzy Adaptativos $\mathcal{H}_\infty$ Não-Lineares Aplicados a Manipuladores com Restrições de Posição e Força

**Samuel L. Nogueira, Adriano A. G. Siqueira**

Departamento de Engenharia Mecânica, Universidade de São Paulo em São Carlos  
{samuel,siqueira}@sc.usp.br

**Tatiana F. P. A. T. Pazelli, Marco H. Terra**

Departamento de Engenharia Elétrica, Universidade de São Paulo em São Carlos  
tatianapazelli@usp.br, terra@sc.usp.br

**Resumo** – Neste trabalho é apresentado um estudo comparativo de controladores  $\mathcal{H}_\infty$  não-lineares aplicados a um manipulador robótico com restrições de posição e força. O problema é solucionado por duas diferentes estratégias: (1) o modelo do sistema é considerado completamente desconhecido e uma técnica de inteligência artificial, baseada em sistemas fuzzy, é aplicada para estimar o modelo completo; (2) o modelo nominal do robô é considerado conhecido e a técnica inteligentes é aplicada para estimar somente incertezas paramétricas, dinâmicas não-modeladas e distúrbios externos. Um controlador por estrutura variável é acrescentado afim de atenuar os erros de estimativa gerado pelo sistema inteligente. O critério  $\mathcal{H}_\infty$  atua na atenuação dos efeitos de distúrbios externos. Resultados experimentais baseados em um manipulador planar de três juntas rotacionais são apresentados.

**Palavras-chave** – Manipuladores restritos, controlador  $\mathcal{H}_\infty$ , sistemas fuzzy, controle por estrutura variável

**Abstract** – In this work, we present a comparative study of  $\mathcal{H}_\infty$  nonlinear controllers applied to a manipulator subject to position and force constraints. The problem is solved by two different strategies: (1) the system model is considered completely unknown and intelligent techniques are used to estimate the complete model; (2) the nominal model of the robot is considered known and intelligent techniques are used to estimate parametric uncertainties, nonmodeled dynamics and external disturbances. A controller based on variable structure is added to decline the estimation errors caused by intelligent systems. The  $\mathcal{H}_\infty$  criterion acts in the attenuation of external disturbances effects. Experimental results based on a planar manipulator with three rotational joints are presented.

**Keywords** – Constrained manipulators,  $\mathcal{H}_\infty$  control, fuzzy systems, variable structure control.

## 1. INTRODUÇÃO

Este trabalho trata do controle de força e posicionamento de robôs manipuladores. Em aplicações que utilizam esse tipo de sistema, algumas adversidades podem deteriorar a representatividade do modelo nominal, gerando por exemplo: incertezas paramétricas, dinâmicas não-modeladas e distúrbios externos.

Estratégias para o controle robusto da posição de manipuladores tem sido amplamente difundidas na literatura. Particularmente, em [1], um controlador adaptativo  $\mathcal{H}_\infty$  baseado em redes neurais foi desenvolvido para solucionar o problema de acompanhamento de posição. Uma formulação complementar à estratégia proposta em [1] foi apresentada em [2]. Acrescentando à lei de atuação um controlador por estrutura variável (*VSC - Variable Structure Control*), a restrição imposta ao erro de estimativa em [1] foi enfraquecida, e portanto, basta que o erro de estimativa gerado pela rede neural seja limitado por uma função dependente de estado ao invés de ser necessariamente integrável.

Com o objetivo de garantir um desempenho  $\mathcal{H}_\infty$  para restrições robóticas holonômicas, um controlador híbrido de posição/força foi desenvolvido em [3], baseado no modelo nominal e na técnica adaptativa via parametrização linear. No entanto, dinâmicas não-modeladas geralmente estão presentes em sistemas reais e seus efeitos podem diminuir consideravelmente o desempenho deste tipo de procedimento. Incorporando um sistema inteligente adaptativo para compensar as dinâmicas não-modeladas, os autores de [4] puderam, de maneira unificada, aumentar a eficiência do modelo adaptativo no tratamento desse tipo de problema.

Assim, com base na teoria apresentada em [1], [2], [3] e [4], este trabalho apresenta um controlador adaptativo  $\mathcal{H}_\infty$  baseado em sistemas fuzzy e *VSC* para manipuladores com restrição de posicionamento e força. Formulando o problema em duas abordagens: a primeira considerando o modelo do sistema completamente desconhecido; e a segunda considerando conhecido o modelo nominal do robô e estimando somente os efeitos dinâmicos de incertezas paramétricas, dinâmicas não-modeladas e distúrbios externos; este trabalho complementa os resultados apresentados em [4]. Além disso, ao acrescentar a técnica de *VSC*, é possível também observar a melhora no desempenho em relação a resultados apresentados em [5].

Resultados experimentais foram obtidos utilizando um manipulador planar de três elos acoplado a um sensor de força, sujeito a restrição de posição e força no efetuador. Um estudo comparativo é apresentado, avaliando a aplicação do sistema inteligente e o desempenho das abordagens propostas.

## 2. DESCRIÇÃO DO MODELO

Considere um manipulador com restrições holonômicas em seu efetuador. Este manipulador pode ser representado por  $n$  elos conectados por  $n$  juntas rotacionais, sendo nomeados respectivamente por  $l$  e  $q$ . A restrição holonômica utilizada consiste de uma superfície rígida sobre a qual o efetuador robótico está restrito. O ângulo entre o efetuador e a restrição poderá ser especificado pelo projetista. Veja a representação deste manipulador na Figura 1.

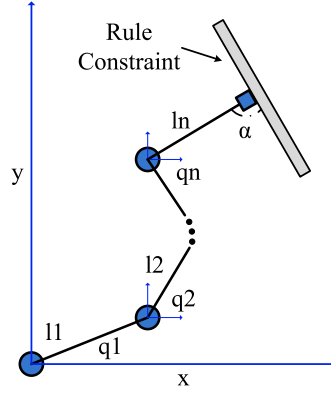


Figura 1: Manipulador robótico com  $n$  elos.

### 2.1 Modelo do Manipulador com Restrição

A equação dinâmica da restrição robótica é dada pela teoria de Lagrange como

$$M(q)\ddot{q} + C(q, \dot{q})\dot{q} + G(q) = \tau + J^T(q)\lambda + d, \quad (1)$$

sendo  $M(q) \in \mathbb{R}^{n \times n}$  a matriz de inércia simétrica e positiva,  $C(q, \dot{q}) \in \mathbb{R}^{n \times n}$  a matriz de Coriolis e termos centrífugos,  $G(q) \in \mathbb{R}^n$  os torques devido a força gravitacional,  $\tau \in \mathbb{R}^n$  os torques aplicados,  $\lambda \in \mathbb{R}^m$  o vetor dos multiplicadores generalizados de Lagrange associados com as restrições,  $J(q) = (\partial\phi/\partial q) \in \mathbb{R}^{m \times n}$  a matriz Jacobiana que relaciona os multiplicadores Lagrangianos no espaço da restrição para o espaço das juntas, e  $d \in \mathbb{R}^n$  representa os distúrbios externos e dinâmicas não modeladas do sistema. Note que  $f$  denota a força de reação devido a restrição holonômica. Isto restringe a posição do efetuador e consequentemente os valores de  $q$ .

Incertezas paramétricas em (1) podem ser inseridas dividindo-se as matrizes paramétricas  $M(q)$ ,  $C(q, \dot{q})$ ,  $G(q)$  e  $f$  em uma parte nominal e uma contendo incertezas:

$$\begin{aligned} M(q) &= M_0(q) + \Delta M(q), \\ C(q, \dot{q}) &= C_0(q, \dot{q}) + \Delta C(q, \dot{q}), \\ G(q) &= G_0(q) + \Delta G(q), \\ f &= f_0 + \Delta f, \end{aligned}$$

sendo  $M_0(q)$ ,  $C_0(q, \dot{q})$ ,  $G_0(q)$  e  $f_0$  as matrizes nominais e  $\Delta M(q)$ ,  $\Delta C(q, \dot{q})$ ,  $\Delta G(q)$  e  $\Delta f$  as incertezas paramétricas.

A Equação (1) pode ser reescrita como:

$$M_0(q)\ddot{q} + C_0(q, \dot{q})\dot{q} + G_0(q) = \tau + f_0 + \omega_\tau, \quad (2)$$

com  $\omega_\tau = -\Delta M(q)\ddot{q} - \Delta C(q, \dot{q})\dot{q} + \Delta f + \tau_d$ . Para simplificar a notação, o índice 0 referente ao sistema nominal será omitido no decorrer do texto.

### 2.2 Modelagem da restrição

As  $m$  restrições de superfície são descritas pela seguinte relação holonômica:

$$\phi(q) = 0_m, \quad (3)$$

sendo  $\phi(q) : \mathbb{R}^n \rightarrow \mathbb{R}^m$  uma função suave.

As forças de restrição são dadas por:

$$f = J_c^T(q)\lambda, \quad (4)$$

sendo  $J_c(q) = \frac{\delta\phi(q)}{\delta q} \in \mathbb{R}^{m \times n}$  a matriz Jacobiana que relaciona as restrições com as variáveis controladas do robô e  $\lambda \in \mathbb{R}^m$  o vetor contendo os multiplicadores Lagrangianos generalizados associados com as restrições. Note que incertezas paramétricas também podem ser incluídas no modelo de restrição, desde que a superfície da mesma não seja considerada perfeitamente rígida, sem atrito ou mesmo que a descrição geométrica não seja completamente conhecida. Então,  $\phi(q) = \Delta\phi(q)$  e  $J_c(q) = J_{c_0}(q) + \Delta J_c(q)$  e assumamos que  $\Delta\phi$  e  $\Delta J_c$  estão implícitas em  $\Delta f$  na Equação (2).

### 2.3 Modelo com ordem reduzida

A presença de  $m$  restrições causam no manipulador a diminuição de  $m$  graus de liberdade, dessa forma,  $n - m$  coordenadas linearmente independentes serão suficientes para caracterizar o movimento restrito. Então, com o objetivo de desenvolver equações dinâmicas com ordem reduzida para o sistema restrito, assumem-se as seguintes hipóteses, [6].

1. Considere que a matriz Jacobiana  $J_c(q)$  tenha posto linha pleno  $m$  para todo  $q \in \mathfrak{R}^n$ . Então, o vetor  $q$  particionado como:

$$q = \begin{bmatrix} q^1 \\ q^2 \end{bmatrix},$$

sendo que  $q^1 = [q_1^1 \dots q_{n-m}^1]^T$  descreve a restrição do movimento do manipulador e  $q^2 = [q_1^2 \dots q_m^2]^T$  representa as demais juntas do manipulador. De acordo com o teorema da função implícita, existe um conjunto aberto  $\Omega_c \subseteq \mathfrak{R}^{(n-m)}$  e um único  $C^1$  mapeando  $\sigma : \Omega_c \rightarrow \mathfrak{R}^m$  tal que  $q^2 = \sigma(q^1)$  e  $\phi(q^1, \sigma(q^1)) = 0, \forall q^1 \in \Omega_c$ .

2. Assuma que  $\Gamma = \frac{\delta\sigma(q^1)}{\delta q^1}$  é bem definido para todas as operações do manipulador de interesse. Quando diferenciamos a superfície de restrição com relação a  $q^1$ , a seguinte equação é obtida:

$$\frac{\delta\phi(q)}{\delta q^1} + \frac{\delta\phi(q)}{\delta q^2} \frac{\delta\sigma(q^1)}{\delta q^1} = J_c(q) \begin{bmatrix} I_{(n-m)} \\ \frac{\delta\sigma(q^1)}{\delta q^1} \end{bmatrix} = 0. \quad (5)$$

Definindo a matriz Jacobiana de transformação das variáveis:

$$L(q^1) = \begin{bmatrix} I_{(n-m)} \\ \frac{\delta\sigma(q^1)}{\delta q^1} \end{bmatrix}, \quad (6)$$

tal que  $\dot{q} = L(q^1)\dot{q}^1$ , a propriedade  $J_c(q)L(q^1) = L^T(q^1)J_c^T(q) = 0$  é verificada.

3. Assuma também que o efetuador já esteja em contato com a superfície de restrição, e o controle exercido sobre a força de restrição é tal que o efetuador estará sempre em contato com a superfície restrita.

Aplicando a transformação (6) em  $\ddot{q} = \dot{L}(q^1)\dot{q}^1 + L(q^1)\ddot{q}^1$  na Equação (2), a seguinte formulação reduzida do modelo é obtida para um manipulador com restrição, como em [4, 7]:

$$M(q^1)L(q^1)\ddot{q}^1 + C_L(q^1, \dot{q}^1)\dot{q}^1 + G(q^1) = \tau + J_c^T(q)\lambda + \omega_\tau, \quad (7)$$

sendo  $C_L(q^1, \dot{q}^1)\dot{q}^1 = M(q^1)\dot{L}(q^1) + C(q^1, \dot{q}^1)L(q^1)$ .

As matrizes  $M(q^1)$ ,  $C(q^1, \dot{q}^1)$  and  $G(q^1)$  em (7) são obtidas substituindo-se  $q^2 = \sigma(q^1)$  e  $\dot{q} = L(q^1)\dot{q}^1$  in  $M(q)$ ,  $C(q, \dot{q})$  e  $G(q)$  em (2), respectivamente. As dinâmicas do manipulador podem ser parametricamente linearizadas nesta forma reduzida como

$$M(q^1)L(q^1)\dot{s} + C_L(q^1, \dot{q}^1)s + G(q^1) = Y(q^1, \dot{q}^1, s, \dot{s})\Theta^*, \forall s \in \mathfrak{R}^{n-m}. \quad (8)$$

Por outro lado, pré-multiplicando ambos os lados de (7) por  $L^T(q^1)$  e utilizando a propriedade da segunda hipótese acima, a equação dinâmica modificada reduzida é dada por:

$$A_L(q^1)\ddot{q}^1 + L^T(q^1)C_L(q^1, \dot{q}^1)\dot{q}^1 + L^T(q^1)G(q^1) = L^T(q^1)(\tau + \omega_\tau), \quad (9)$$

sendo  $A_L(q^1) = L^T(q^1)M(q^1)L(q^1)$  simétrica e definida positiva, e a matriz  $\dot{A}_L(q^1) - 2L^T(q^1)C_L(q^1, \dot{q}^1)$  anti-simétrica.

### 2.4 Formulação do Problema

Com base na forma reduzida (9), a dinâmica do erro no espaço de estados em sua forma reduzida será obtido nesta seção e será utilizado para se obter a realimentação de estados do controlador para o manipulador restrito. Seja  $q_d(t) \in \mathfrak{R}^n$  e  $\dot{q}_d(t) \in \mathfrak{R}^n$  a trajetória desejada e sua correspondente velocidade para as juntas. Assumindo que  $q_d(t)$  e sua primeira e segunda derivadas  $\dot{q}_d(t)$  e  $\ddot{q}_d(t)$  são limitadas. Definimos uma força de contato também limitada como  $f_d \in \mathfrak{R}^n$ . Para que seja consistente com as restrições impostas, considere que  $\phi(q_d) = 0$  e  $f_d = J_c^T(q_d)\lambda_d$ . Desde que  $q^2 = \sigma(q^1)$ , torna-se necessário somente encontrar uma lei de controle tal que  $q^1 \rightarrow q_d^1$  quando  $t \rightarrow \infty$ . Então, definimos o erro de trajetória para a posição como  $\bar{x}_1(t)$  e o erro de *link* filtrado  $\bar{x}_2(t)$ , como em [7]:

$$\bar{x}(t) \doteq \begin{bmatrix} \bar{x}_1(t) \\ \bar{x}_2(t) \end{bmatrix} \doteq \begin{bmatrix} q^1(t) - q_d^1(t) \\ \dot{q}^1(t) - \dot{q}_d^1(t) + p(q^1(t) - q_d^1(t)) \end{bmatrix} \quad (10)$$

para uma constante  $p > 0$ .

Das equações (9) e (10), a equação dinâmica do erro pode ser obtida como

$$\dot{\bar{x}} = \begin{bmatrix} \dot{\bar{x}}_1 \\ \dot{\bar{x}}_2 \end{bmatrix} = A\bar{x} + Bu + B\omega, \quad (11)$$

sendo  $A = \begin{bmatrix} -pI & I \\ 0 & -A_L^{-1}(q^1)C_L(q^1, \dot{q}^1) \end{bmatrix}$ ,  $B = \begin{bmatrix} 0 \\ -(M(q^1)L(q^1))^{-1} \end{bmatrix}$   
 $u = F(x_e) - \tau$ ,  $\omega = \Delta F(x_e) + \tau_d$ , e  $F(x_e) \doteq M(q^1)L(q^1)(\dot{q}_d^1 - p\bar{x}_1) + C_L(q^1, \dot{q}^1)(\dot{q}_d^1 - p\bar{x}_1) + G(q^1)$ .  
 Com isso, os torques aplicados nas juntas para garantir a execução da tarefa desejada, são dados por

$$\tau = F(x_e) + \omega - u, \quad (12)$$

sendo que o termo  $F(x_e)$  refere-se à dinâmica das variáveis controladas,  $\omega$  refere-se à dinâmica desconhecida devido às incertezas paramétricas e distúrbios externos, e  $u$  à lei de controle estabelecida pelo controlador adaptativo  $\mathcal{H}_\infty$  proposto neste artigo. O problema é abordado por duas estratégias diferentes. Na primeira estratégia, um sistema inteligente adaptativo é utilizado para estimar somente o termo  $\omega$ , considerando que o modelo nominal do robô é conhecido. Na segunda estratégia, é considerado que o modelo do sistema ou o termo  $F(x_e) + \omega$  é completamente desconhecido, então um sistema inteligente adaptativo é utilizado para estimar este. A lei de controle  $\mathcal{H}_\infty$  é aplicada em ambas as estratégias com o objetivo de atenuar erros de estimativa e distúrbios externos.

#### 2.4.1 Estimadores Baseados em Sistemas Fuzzy

O controlador adaptativo  $\mathcal{H}_\infty$  não linear proposto neste trabalho é baseado na combinação de duas abordagens: uma baseada no modelo matemático nominal do manipulador e outra baseada em sistemas inteligentes para estimar as incertezas do manipulador. Vamos descrever a seguir dois procedimentos de projeto baseados em lógica fuzzy.

Um estimador baseado em lógica fuzzy é proposto para estimar o modelo de um sistema robótico  $H(x_e)$  do tipo (11), sendo este parametrizado de acordo com (8). Considere o modelo fuzzy Takagi-Sugeno (T-S), [8], caracterizado por um conjunto de proposições lingüísticas do tipo:

$$\begin{aligned} &\text{SE } u_1 \text{ é } A_{11} \text{ e } u_2 \text{ é } A_{12} \dots \text{ e } u_r \text{ é } A_{1r}, \\ &\text{ENTÃO } y_1 = \theta_{10} + \theta_{11}u_1 + \theta_{12}u_2 + \dots + \theta_{1r}u_r \\ &\vdots \\ &\text{SE } u_1 \text{ é } A_{k1} \text{ e } u_2 \text{ é } A_{k2} \dots \text{ e } u_r \text{ é } A_{kr}, \\ &\text{ENTÃO } y_k = \theta_{k0} + \theta_{k1}u_1 + \theta_{k2}u_2 + \dots + \theta_{kr}u_r. \end{aligned} \quad (13)$$

onde  $A_{ij}$ ,  $j = 1, \dots, r$  e  $i = 1, \dots, k$ , são variáveis lingüísticas relacionadas ao conjunto fuzzy definido no espaço de entrada  $U_1, U_2, \dots, U_r$ ;  $u_1, u_2, \dots, u_r$  são os valores das variáveis de entrada,  $k$  é o número de regras fuzzy e  $\theta_i$  são os parâmetros ajustados pela lógica fuzzy. A saída de inferência do método T-S é *crisp* (portanto não necessita de um defuzzificador). Esta é definida como uma média ponderada das saídas  $y_i$  de cada subsistema linear

$$y = \frac{\sum_{i=1}^k \mu_i y_i}{\sum_{i=1}^k \mu_i} = \frac{\sum_{i=1}^k \mu_i (\theta_{i0} + \theta_{i1}u_1 + \theta_{i2}u_2 + \dots + \theta_{ir}u_r)}{\sum_{i=1}^k \mu_i} \quad (14)$$

onde  $\mu_i$  é o grau de pertinência da  $i$ -regra, definido como o mínimo entre os graus de pertinência associados às entradas dos conjuntos fuzzy ativados pela  $i$ -regra

$$\mu_i = A_{i1}(u_1) \wedge A_{i2}(u_2) \wedge \dots \wedge A_{ir}(u_r). \quad (15)$$

Define-se

$$x_e \doteq \begin{bmatrix} \tilde{q}^T & \dot{\tilde{q}}^T \end{bmatrix}^T = \begin{bmatrix} q^T - q_d^T & \dot{q}^T - \dot{q}_d^T \end{bmatrix}^T \quad (16)$$

como a entrada fuzzy, e

$$A(x_e) = \begin{bmatrix} A_1(\tilde{q}) & A_2(\dot{\tilde{q}}) \end{bmatrix} \quad (17)$$

como os conjuntos fuzzy das entradas fuzzificadas.

As entradas  $\tilde{q}_1$  e  $\dot{\tilde{q}}_1$  são respectivamente os erros de posição e velocidade das juntas. Tais entradas alimentam dois fuzzificadores e um operador de regressão linear. As saídas dos dois blocos de fuzzificação retornam graus de pertinência dos valores de entrada sobre grupos fuzzy. Esses graus de pertinência são submetidos a um operador lógico **E** que retorna o valor mínimo entre as duas entradas fuzzificadas. As saídas  $\mu_k$  e  $y_k$  são relacionadas pela equação de ponderação (14). Então propõe-se um sistema fuzzy para estimação do modelo  $H(x_e)$  baseado no método de T-S, definido como

$$H(x_e, \Theta) \doteq \begin{bmatrix} H_1(x_e^1, \Theta_1) \\ \vdots \\ H_n(x_e^n, \Theta_n) \end{bmatrix} = \begin{bmatrix} \xi_1 \Theta_1 \\ \vdots \\ \xi_n \Theta_n \end{bmatrix} = \begin{bmatrix} \xi_1 & 0 & \dots & 0 \\ 0 & \xi_2 & \vdots & 0 \\ \vdots & \vdots & \ddots & \vdots \\ 0 & 0 & \dots & \xi_n \end{bmatrix} \begin{bmatrix} \Theta_1 \\ \Theta_2 \\ \vdots \\ \Theta_n \end{bmatrix} = \Xi \Theta, \quad (18)$$

com  $\xi_j = \frac{1}{\sum_{i=1}^k \mu_i^j} \begin{bmatrix} \mu_1^j & \dots & \mu_k^j & \mu_1^j x_e^{jT} & \dots & \mu_k^j x_e^{jT} \end{bmatrix}$  e  $\Theta_i = \begin{bmatrix} \theta_{i0}^i & \dots & \theta_{1r}^i & \dots & \theta_{k0}^i & \dots & \theta_{kr}^i \end{bmatrix}^T$ .

**Caso 1** Estimativa das Incertezas Paramétricas Baseada no Modelo Fuzzy Takagi-Sugeno (TSIP).

Sendo o estimador baseado em lógica fuzzy utilizado para estimar o termo desconhecido  $\Delta F(x_e)$ .

**Caso 2** Estimativa do Modelo Completo Baseada no Modelo Fuzzy Takagi-Sugeno (TSMC)

O Modelo Fuzzy de Takagi-Sugeno também pode ser utilizado para estimar o modelo completo do sistema (11), portanto, utiliza-se um sistema fuzzy adaptativo,  $F(x_e, \Theta)$ , para estimar o termo  $F_0(x_e) + \Delta F(x_e)$ .

De forma a garantir a estabilidade da lei de controle que será desenvolvida na próxima seção, considere as seguintes afirmações feitas em [2]:

1. Existe um valor para o parâmetro  $\Theta^* \in \Omega_\theta$ , conhecido como valor ótimo de aproximação, tal que os valores de  $\Delta F(x_e, \Theta^*)$  e  $F(x_e, \Theta^*)$  aproximam-se de  $\Delta F(x_e)$  e  $F(x_e)$  tanto quanto possível, onde  $\Omega_\theta$  é uma região de restrição definida como,  $\Omega_\theta \doteq \{\Theta \mid \Theta^T \Theta \leq M_\theta, M_\theta > 0\}$ , sendo  $M_\theta$  uma constante positiva especificada pelo projetista.
2. Define-se  $\delta F(x_e) = \Delta F(x_e, \Theta^*) - \Delta F(x_e)$ , e sem perda de generalidade assume-se que exista uma função  $k(x_e) > 0$  tal que  $|(\delta F(x_e))_i| \leq k(x_e)$ , para todo  $1 \leq i \leq n$ .

De acordo com as considerações acima, a equação dinâmica modificada do erro (9) pode ser reescrita como,  $A_L \dot{\bar{x}}_2 = -L^T C_L \bar{x}_2 + L^T u + L^T d$ , definindo  $u \doteq -F_0(x_e) - \Delta F(x_e, \Theta^*) + \delta F(x_e) + \tau$ , então, os torques aplicados podem ser calculados como

$$\tau = F_0(x_e) + \Xi \Theta + \bar{u}, \quad (19)$$

sendo  $\bar{u}$  a lei de controle determinada pelo controlador  $\mathcal{H}_\infty$  não linear.

#### 2.4.2 Controle Adaptativo $\mathcal{H}_\infty$ Não Linear

Baseado nos sistemas inteligentes apresentados, um controlador adaptativo é aplicado ao problema para garantir que os efeitos dos erros de estimativa e distúrbios externos sejam atenuados. A seguir é proposto no Teorema 2.1 um controlador adaptativo  $\mathcal{H}_\infty$ , que é uma variação dos teoremas apresentados em [3], [2] e [4].

**Teorema 2.1** Considere o modelo reduzido (7) com incertezas na planta e distúrbios externos. Para as seguintes trajetórias de referência  $q_d(t)$  e  $\lambda_d(t)$ , temos o seguinte controlador adaptativo baseado em sistemas inteligentes

$$\dot{\Theta} = \begin{cases} -\rho \Xi^T L \bar{x}_2 & \text{if } \|\Theta\| < M_\theta \text{ or} \\ & (\|\Theta\| = M_\theta \text{ and } \bar{x}_2^T L^T \Xi \Theta \geq 0) \\ -\rho \Xi^T L \bar{x}_2 + \rho \frac{\bar{x}_2^T L^T \Xi \Theta}{\|\Theta\|^2} \Theta & \text{if } \|\Theta\| = M_\theta \\ & \text{and } \bar{x}_2^T L^T \Xi \Theta < 0 \end{cases} \quad (20)$$

$$\tau = F_0(x_e) + \Xi \Theta - k_0 E \bar{x}_2 + k(x_e) \text{sgn}(L \bar{x}_2) - J^T \lambda_c, \quad (21)$$

sendo  $\lambda_c \doteq \lambda_d - k_\lambda \int_0^T (\lambda - \lambda_d) dt$  e  $E \doteq \begin{bmatrix} I_{(n-m) \times (n-m)} \\ 0_{m \times (n-m)} \end{bmatrix}$ , para alguma constante  $k_\lambda > 0$ , onde  $\lambda_d(t)$  é o multiplicador lagrangiano desejado relacionado com a restrição de força desejada  $f_d(t)$ , onde  $f_d(t) = J^T(q_d(t)) \lambda_d(t)$ . A restrição de força desejada  $f_d(t)$  é então assumida como sendo limitada, [4].

Então, para condições iniciais limitadas e  $\rho > 0$ , existe uma escolha adequada da constante  $k_0$  tal que o seguinte critério de desempenho  $\mathcal{H}_\infty$  é garantido, [4], portanto os seguintes itens são assegurados:

1.  $\Theta(t) \in \Omega_\theta$  e todas as variáveis  $q(t)$ ,  $\dot{q}(t)$  e  $\tau(t)$  são limitadas para todo  $t \geq 0$ .
2. O seguinte índice de desempenho  $\mathcal{H}_\infty$  é mantido  $\int_0^T \|\bar{x}(t)\|_Q^2 \leq V(0) + \gamma^2 \int_0^T \|d(t)\|^2$ ,  $\forall T \geq 0$ , com  $\omega(t) \in L_2[0, \infty)$ , onde  $Q$  é uma matriz de ponderação,  $V(0)$  é a função candidata a Lyapunov quando  $t=0$  e  $\gamma$  é o nível de atenuação pré-determinado.
3. Se  $\omega(t) \in L_2[0, \infty) \cap L_\infty[0, \infty)$ , então pode-se concluir que  $\lim_{t \rightarrow \infty} (q^1(t) - q_d^1(t)) = 0$  e  $\lim_{t \rightarrow \infty} (\dot{q}^1(t) - \dot{q}_d^1(t)) = 0$ .

### 3. RESULTADOS

Para validar a proposta, resultados experimentais foram obtidos com o controlador desenvolvido na Seção 2 utilizando um manipulador planar de três elos, UARM (UnderActuated Robot Manipulator). Cada junta do UARM é composta por um motor DC, um freio e um encoder óptico. As velocidades das juntas são obtidas por diferenciação numérica e filtragem. Como as forças entre o efetuador do manipulador e o meio são partes do problema abordado, um sensor de força foi projetado e construído. O dispositivo desenvolvido utiliza sensores piezoelétricos, possibilitando medições dinâmicas para forças e momentos nos três eixos ortogonais.

A superfície de restrição ao efetuador robótico é um segmento de reta no plano X-Y, com a orientação do efetuador perpendicular ao segmento de reta. Portanto a orientação deverá ser mantida em um valor constante  $c$  dado pela inclinação  $\beta$ . Assim, a equação de  $m = 2$  restrições é dada por  $\phi(q) = \begin{bmatrix} -l_1 s_1 - l_2 s_{12} - l_3 s_{123} + \beta[l_1 c_1 + l_2 c_{12} + l_3 c_{123}] + b \\ q_1 + q_2 + q_3 - c \end{bmatrix} = \begin{bmatrix} 0 \\ 0 \end{bmatrix}$  sendo  $b$  o coeficiente linear da reta de restrição,  $s_{ij} = \sin(q_i + q_j)$ ,  $c_{ij} = \cos(q_i + q_j)$ ,  $q_i$  a posição angular da  $i$ -junta  $i$ , e  $l_i$  o comprimento do  $i$ -elo. Então,  $\phi : \mathbb{R}^3 \rightarrow \mathbb{R}^2$ , e a matriz Jacobiana,  $J(q) = \partial\phi/\partial q$ , é dada por  $J = \begin{bmatrix} J_{11} & J_{12} & J_{13} \\ J_{21} & J_{22} & J_{23} \end{bmatrix}$  com

$$\begin{aligned} J_{11} &= l_1 c_1 + l_2 c_{12} + l_3 c_{123} + \beta[l_1 s_1 + l_2 s_{12} + l_3 s_{123}] \\ J_{12} &= l_2 c_{12} + l_3 c_{123} + \beta[l_2 s_{12} + l_3 s_{123}] \\ J_{13} &= l_3 c_{123} + \beta[l_3 s_{123}] \\ J_{21} &= J_{22} = J_{23} = 1. \end{aligned}$$

Definindo  $q^1 = [q_1]$  e  $q^2 = [q_2 \ q_3]$ , a matriz  $L(q)$  da reta de restrição é dada por

$$L(q) = \begin{bmatrix} 1 \\ -\frac{[l_1 \cos(q_1) + l_2 \cos(q_1 + q_2) + \beta(l_1 \sin(q_1) + l_2 \sin(q_1 + q_2))]}{l_2[\cos(q_1 + q_2) + \beta \sin(q_1 + q_2)]} \\ \frac{[l_1 \cos(q_1) + l_2 \cos(q_1 + q_2) + \beta(l_1 \sin(q_1) + l_2 \sin(q_1 + q_2))]}{l_2[\cos(q_1 + q_2) + \beta \sin(q_1 + q_2)]} - 1 \end{bmatrix}.$$

As posições inicial e final do movimento são definidas  $(x_0, y_0) = (0.46, 0.38)$  m e  $(x(T), y(T)) = (0.53, 0.13)$  m, respectivamente. Neste caso,  $\beta = -3.57$ ,  $b = 2.02$ , e  $c = 15.64^\circ$ . As trajetórias para as juntas  $q_d(t)$  são definidas como um polinômio de quinto grau, com duração de  $T = 4$  s. É desejado que não existam forças e momentos atuando tanto na direção da reta de restrição quanto na direção do momento  $z$ , ou seja,  $\lambda_d = [(F_x)_d \ (M_z)_d]^T = [0 \ 0]^T$ . Durante o experimento, um distúrbio limitado foi introduzido com a seguinte forma

$$d = \begin{bmatrix} 0,01e^{-\frac{(t-t_d)^2}{2\mu^2}} \text{sen}(3,6\pi t) \\ -0,01e^{-\frac{(t-t_d)^2}{2\mu^2}} \text{sen}(2,7\pi t) \\ 0,01e^{-\frac{(t-t_d)^2}{2\mu^2}} \text{sen}(1,8\pi t) \end{bmatrix}.$$

Se comparado com o torque nominal, o distúrbio  $d$  é aproximadamente 64% do valor de pico dele.

### 3.1 Implementação via sistemas fuzzy

Como o manipulador adotado nesses experimentos possui três juntas rotacionais, escolhe-se então três sistemas fuzzy distintos para estimar as incertezas do manipulador, os quais são baseados no modelo de Takagi-Sugeno. As entradas de cada sistema fuzzy são definidas como em (16).

Os conjuntos fuzzy são considerados como em (17), definidos no universo de discurso dos erros de posição, para  $u_1 = \tilde{q}_1 \in U_1$ , e no universo de discurso dos erros de velocidade, para  $u_2 = \dot{\tilde{q}}_1 \in U_2$ , como mostrado na Figura 2.

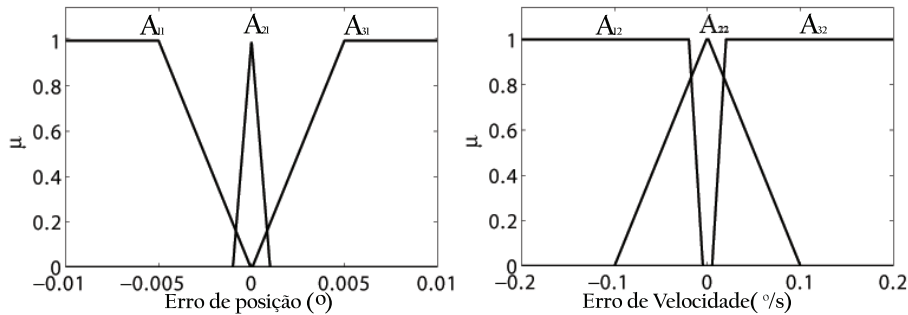


Figura 2: Conjuntos fuzzy  $A_1(\tilde{q}_1)$  e  $A_2(\dot{\tilde{q}}_1)$ .

A base de regras fuzzy é dada como em (13), sendo  $k = 9$  e  $r = 2$ . A saída das três juntas é expressa como em (18).

### 3.2 Discussão dos resultados

Na Figura 3 são exibidos os ângulos de acompanhamento das três juntas do manipulador robótico. Pode-se observar que para o controlador sem o sistema inteligente, NOM, a atuação do controle é mais lenta produzindo maior erro de acompanhamento dos sinais de referência.

Na Figura 4 temos os torques aplicados nas juntas dos manipuladores robóticos. Nesta figura verifica-se que durante o intervalo correspondente ao distúrbio inserido, os controladores atuam fortemente no sistema, chegando a inverter os sentidos dos torques das juntas 1 e 2 e a intensificar o torque da junta 3.

Nos gráficos da Figura 5 são apresentadas as medições de força e momento no efetuador robótico. Como esperado, durante o período em que o distúrbio foi inserido no sistema houve maior intensidade de forças e momentos os quais diminuíram gradativamente, tendendo ao zero, até atingir o tempo final (4s).

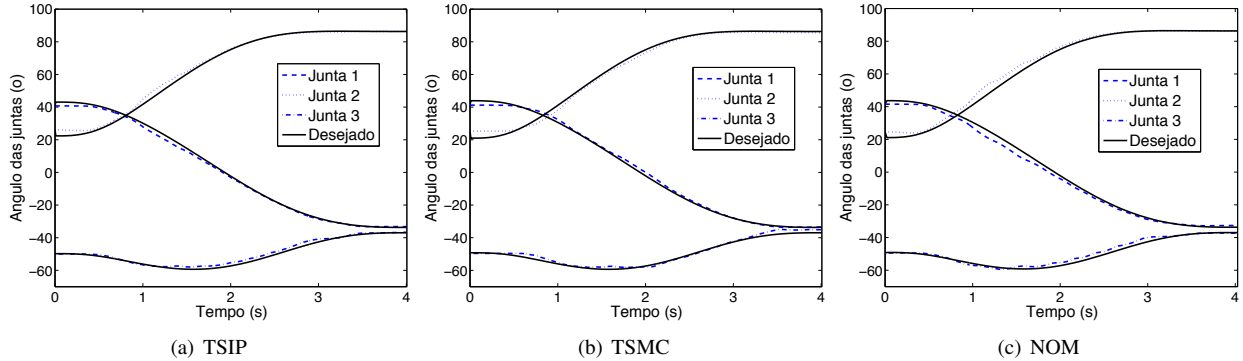


Figura 3: Ângulos de acompanhamento das juntas.

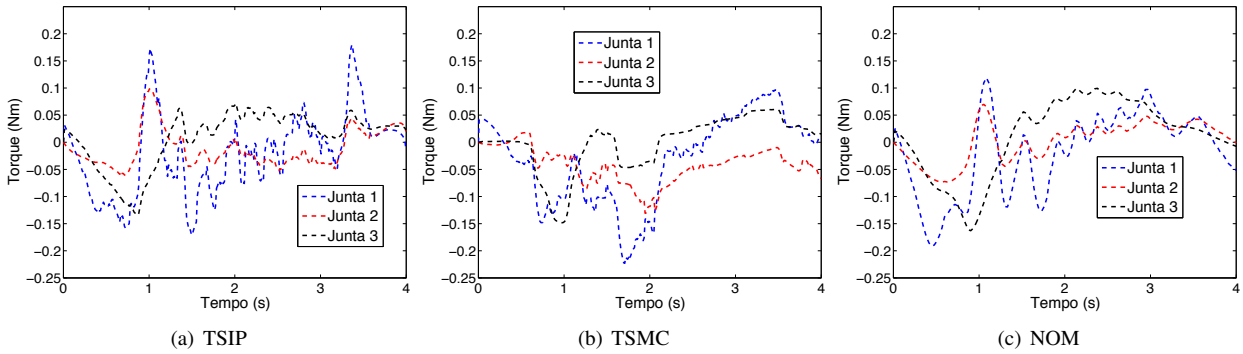


Figura 4: Torques nas juntas.

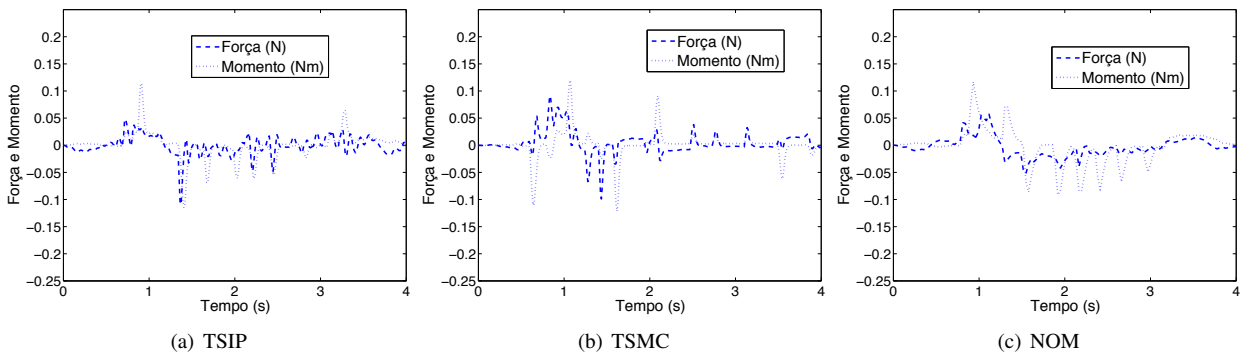


Figura 5: Forças e momentos no efetuador.

Três índices de desempenho foram utilizados para comparar numericamente os controladores  $\mathcal{H}_\infty$  não-lineares: a norma  $\mathcal{L}_2$  do vetor de estados, a norma Euclidiana da soma dos torques aplicados  $\|\cdot\|_2$  e a soma das áreas das forças de contato:

$$\mathcal{L}_2[\tilde{x}] = \left( \frac{1}{(t_r - t_0)} \int_{t_0}^{t_r} \|\tilde{x}(t)\|_2^2 dt \right)^{1/2}, \quad E[\tau] = \sum_{i=1}^3 \left( \int_{t_0}^{t_r} |\tau_i(t)| dt \right), \quad E[\lambda] = \sum_{i=1}^3 \left( \int_{t_0}^{t_r} |\lambda_i(t)| dt \right),$$

sendo  $\lambda_i(t)$  a  $i$ -componente das forças de contato. Como é desejado que as forças de contato tendam para zero, quanto menor for o valor de  $E[\lambda]$ , melhor será a atuação do controle com respeito as forças de contato.

Tabela 1: Índices de Desempenho

	$\mathcal{L}_2[x]$	$E[\tau]$	$E[\lambda]$
TSIP	0.0759	0.5865	0.1136
TSMC	0.0899	0.5182	0.1061
NOM	0.1031	0.6508	0.1506

Os resultados são mostrados na Tabela 1. Eles representam o valor médio de cinco experimentos realizados. Da Tabela 1 pode-se concluir que o controlador baseado apenas no modelo nominal apresenta maior erro de estado e maior erro no controle das forças de contato.

#### 4. CONCLUSÃO

Como pode ser verificado na Seção 3, o controlador TS1 teve melhor acompanhamento de trajetória se comparado com TS2. Verifica-se também que apresentou um desempenho melhor por apresentar menor oscilação após a inserção de distúrbio. Este comportamento ocorre tanto para o acompanhamento da trajetória no espaço cartesiano como para o acompanhamento da trajetória dos ângulos das juntas. Além disso, todos os controladores responderam bem na presença de distúrbio. Pela análise dos índices de desempenho propostos verificou-se que o erro de estado nos controladores baseados em lógica fuzzy (TS1 e TS2) tendem a ser menores do que o modelo Nominal. Observou-se que a escolha dos valores de  $k_\lambda$  influenciam mais diretamente no ajuste das forças de esmagamento enquanto que os valores de  $\rho$  nos erros de acompanhamento das variáveis de estado. Comparando os gastos de energia do controlador TS1 com Nominal, verifica-se que tanto a energia consumida ( $E[\tau]$ ) quanto as forças de esmagamento ( $E[\lambda]$ ) diminuíram, mas o controlador TS2 ainda teve menor consumo de energia.

#### REFERÊNCIAS

- [1] Y. C. Chang and B. S. Chen. “A Nonlinear Adaptive  $\mathcal{H}_\infty$  Tracking Control Design in Robotic Systems via Neural Networks”. *IEEE Transactions on Control Systems Technology*, vol. Volume 5, no. 1, pp. pp. 13–28, Jan 1997.
- [2] Y. C. Chang. “Neural network-based  $\mathcal{H}_\infty$  tracking control for robotic systems”. *IEEE Proceedings on Control Theory Applications*, vol. Volume 147, no. 3, pp. pp. 303–311, May 2000.
- [3] Y. C. Chang and B. S. Chen. “Adaptive Tracking Control Design of Constrained Robot Systems”. *International Journal of Adaptive Control Signal Processing*, vol. Volume. 12, no. 6, pp. pp. 495–526, 1998.
- [4] Y. C. Chang and B. S. Chen. “Robust Tracking Designs for Both Holonomic and Nonholonomic Constrained Mechanical Systems: Adaptive Fuzzy Approach”. *IEEE Transactions on Fuzzy Systems*, vol. Volume 8, no. 8, pp. pp. 46–66, Feb 2000.
- [5] S. Nogueira, T. F. Pazelli, A. Siqueira and M. Terra. “Adaptive fuzzy nonlinear  $\mathcal{H}_\infty$  tracking control design of a constrained robot system”. In *Control and Automation, 2008 16th Mediterranean Conference on*, pp. 362–367, june 2008.
- [6] N. H. McClamroch and D. Wang. “Feedback stabilization and tracking of constrained robots”. *IEEE Transactions on Automatic Control*, vol. Volume 5, no. 33, pp. pp. 419–426, 1988.
- [7] A. Petronilho, A. A. G. Siqueira and M. H. Terra. “Adaptive  $\mathcal{H}_\infty$  control design via neural networks of a constrained robot system”. In *IEEE Conference on Decision and Control (CDC)*, volume 44, pp. 5528–5533, Seville, Spain, Jun 2005.
- [8] T. Takagi and M. Sugeno. “Fuzzy identification of systems and its applications to modeling and control”. *IEEE Transactions on Systems, Man and Cybernetics*, vol. Volume 15, pp. pp. 116–132, 1985.